

岡山大学 正。阪田憲次
ピースコンクリート 正 藏本修
岡山大学 濱野隆司

1. まえがき

コンクリートの乾燥収縮機構は、コンクリート中の水分の外部への逸散に起因するラーページ効果によって説明される。また、コンクリート中の水分の逸散は、一般に、拡散方程式に従うとして解析する方法が採られる。筆者が行なった3次元線形拡散方程式による解析によれば¹⁾、図-1に示すように、計算値と実験値が一致せず、拡散係数を一定とするのは妥当でないことが明らかになった。すなわち、コンクリート中の水分の逸散は、非線形の拡散方程式に従うこと、換言すれば、拡散係数をコンクリート中の含水率の関数とすべきことが明らかになった。1次元の非線形拡散方程式は、 $\frac{\partial C}{\partial t} = \frac{\partial}{\partial x} (K(C) \frac{\partial C}{\partial x})$ ----- (1)

と表わされ、 $x = X/\sqrt{t}$ なる変数を導入して、Boltzmann変換すると、

$$K(C) = \int_C^{C_s} \lambda dC / (dC/dx) \quad \text{--- (2)}$$

より拡散係数が求められる。すなわち、実験より、コンクリート中のある点Xの任意時間tにおける含水率Cが求められれば、(2)式により、

拡散係数が求められる。このようにして求めたK(C)を用い、(1)式を有限要素法により逐次計算すれば、任意時間におけるコンクリート中の水分の分布が求められる。本研究においては、4角形アイソパラメトリック要素を用い、重みつき残差法によって定式化を行ない、(1)式の数値計算を行なった。このようにして求めた水分の分布および逸散量と、別の実験より求めたコンクリート中の収縮ひずみとの関係について論じた。

2. 実験概要

図-1に、実験に

使用したコンクリートの配合と強度とを示す。また、図-2

に、供試体の形状寸法を示す。供試体は相対する2面の計

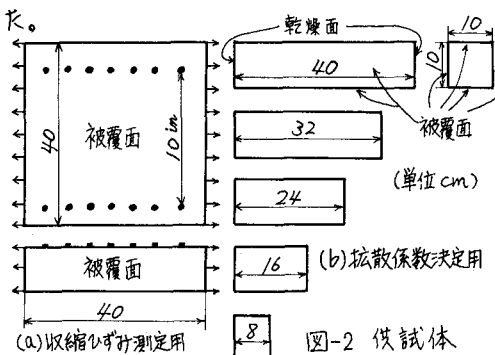


図-2 供試体

表-1 コンクリートの配合と圧縮強度

配合	W/C (%)	W (kg/m³)	C (kg/m³)	S/a (%)	S (kg/m³)	G (kg/m³)	G ₂₈ (%)
A	48.3	203	420	44	731	926	452
B	43.6	183	420	44	754	996	501
C	50.1	213	420	44	720	912	387
D	56.4	203	360	44	753	954	344
E	42.3	203	480	44	709	899	514
F	48.3	203	420	42	698	959	410
G	48.3	203	420	46	764	893	432

残り、他の4面をパラフィンで被覆し、水分の逸散が1次元的になるよう考慮した。(a)供試体で乾燥面より深さ方向各處の収縮ひずみを、長さの異なる(b)供試体重量を測定し、その経時変化よりコンクリート中の水分の分布を求めた。またその結果より、(2)式のK(C)を決定した。実験はすべて20°C, 60%R.H.の恒温恒湿室内で行なった。なお、コンクリート中の水分の分布を求める実験は、上記以外にも、直線の透過による方法、コンクリート中に埋め込んだ電気抵抗の変化による方法についても実施した。測定期間は、約130日間である。

3. 結果と考察

図-3に、長さの異なる供試体により求めた、逸散水量と乾燥日数との関係の一例を示す(配合A)。これももとにして、上述の入とじとの関係を示したのが、図-4である。なお、乾燥開始時の材令は28日で、それまでは、標準水中養生を施した。また、含水率は、実験終了後各供試体を炉乾燥して求めた可能逸散水量に対する含水量のパーセンテージで表わした。図-4をもとにして、(2)式で計算した拡散係数K(C)と含水率との関係を

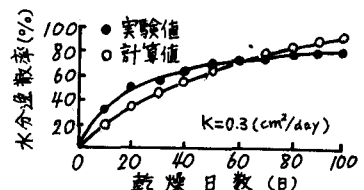


図-1 線形拡散方程式による解析例

図-5に示す。図より明らかのように、拡散係数は、含水率が80%以上ではきわめて大きく、また含水率が大なるほど大きくなる。しかし、80%以下では、ほぼ一定値となる。したがって、コンクリート中の水分の逸散に対する拡散係数は、乾燥の初期においては、コンクリート中の含水率ときわめて密接な関係があることがうかがわれる。

つぎに、この拡散係数を用い、コンクリート中の水分の分布を求めるための数値計算を行なった。境界条件は、次式で表わされるNewtonの熱移動の法則を用いた。

$$k(\partial C/\partial x)_s = f \cdot (C_e - C_s) \quad \dots (3)$$

ここで、 f :表面係数、 C_e :外気の湿度、 C_s :コンクリート表面の湿度である。

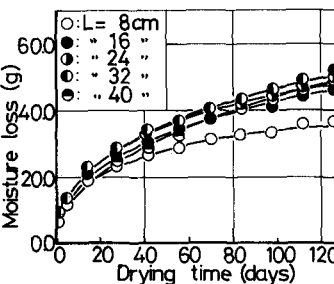


図-3 逸散水量～時間

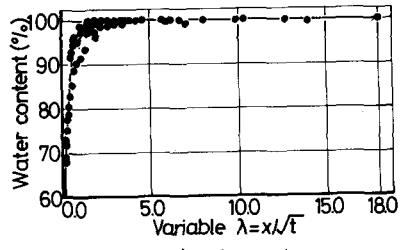


図-4 λ ～入曲線

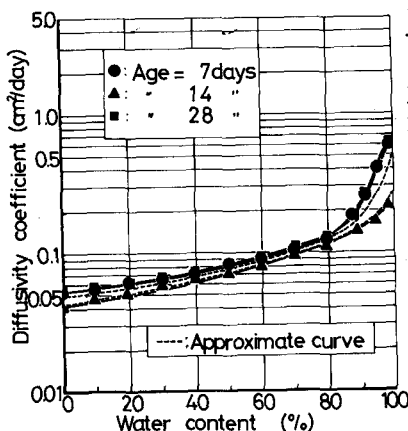


図-5 拡散係数

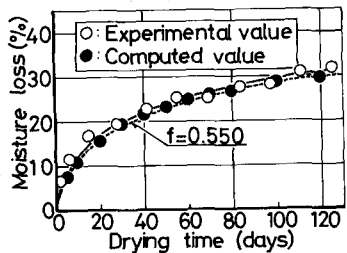


図-6 逸散水量～時間

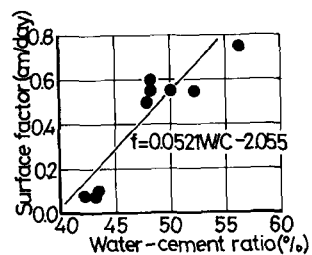


図-7 表面係数

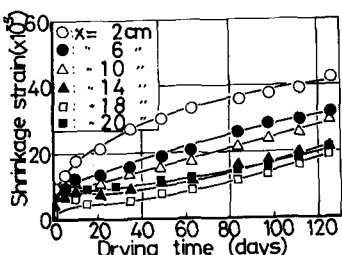


図-8 収縮ひずみ～時間曲線

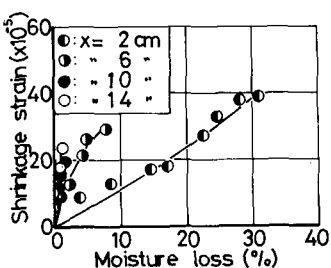


図-9 収縮ひずみ～逸散水量

4. あとがき

以上の結果を総合すると、コンクリートの乾燥収縮は、コンクリート中の水分の逸散ときわめて密接な関係があり、また、水分の逸散構造は、非線形の拡散方程式によつて近似できる。上述の拡散係数および表面係数を用いれば、コンクリート中の水分の分布および収縮ひずみの分布を、ある程度の精度で予測することができると思われる。

〈参考文献〉阪田：京大学位論文、1976年6月、J. Crank: The

Mathematics of diffusion, Oxford at the Clarendon Press., 1955年